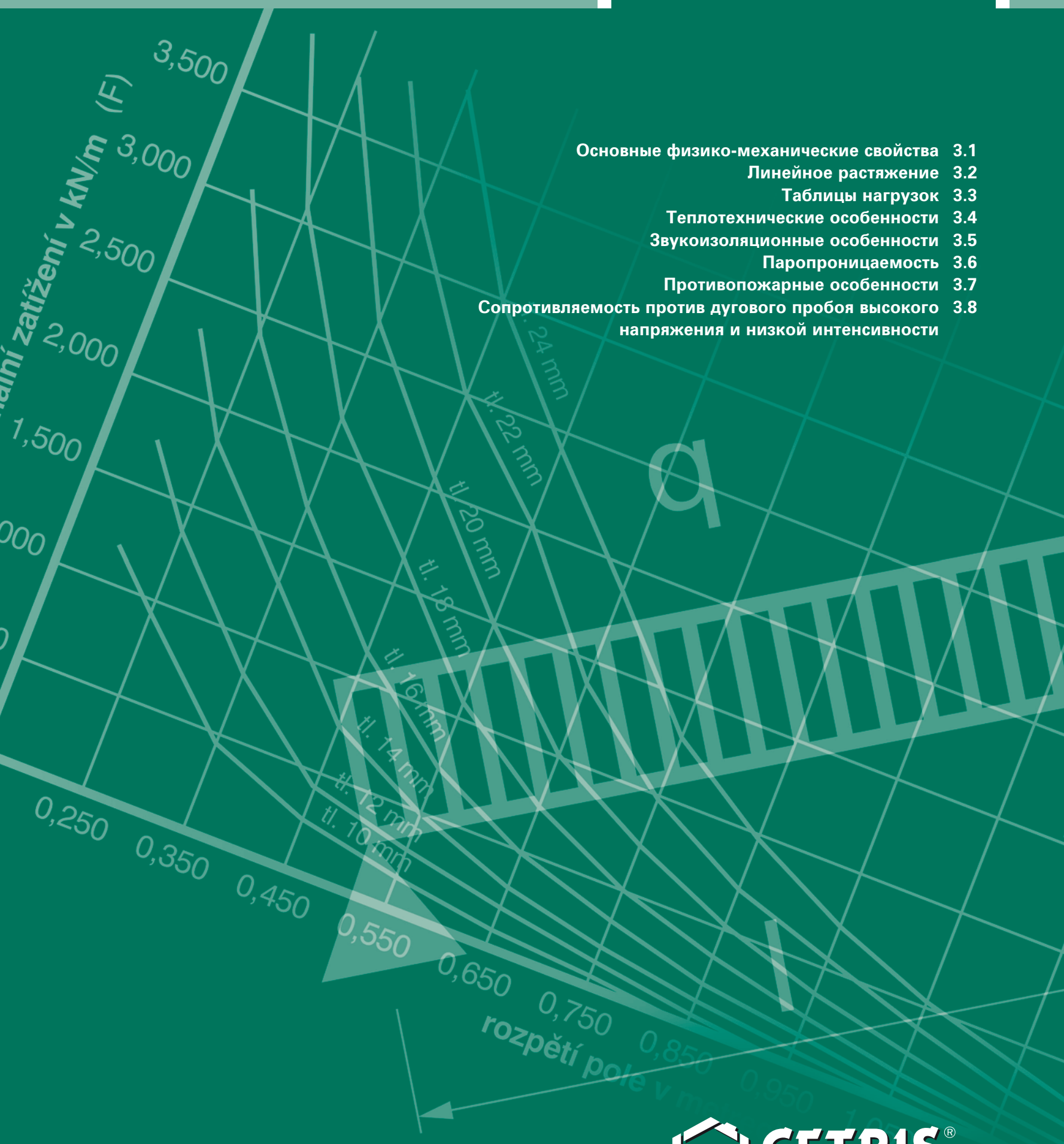


- Основные физико-механические свойства 3.1  
Линейное растяжение 3.2  
Таблицы нагрузок 3.3  
Теплотехнические особенности 3.4  
Звукоизоляционные особенности 3.5  
Паропроницаемость 3.6  
Противопожарные особенности 3.7  
Сопротивляемость против дугового пробоя высокого напряжения и низкой интенсивности 3.8



## Основные свойства

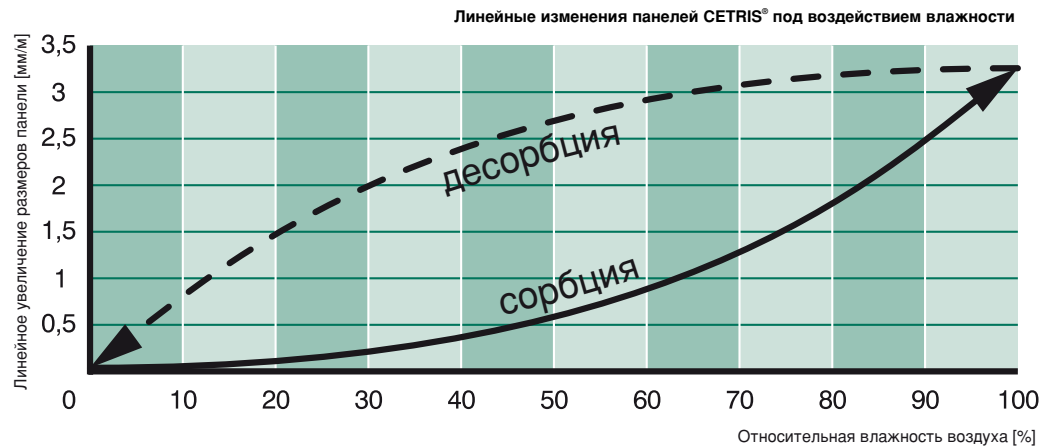
### 3.1 Основные физико-механические свойства

| Таблица основных физико-механических свойств цементо-стружечных панелей CETRIS®                             | Величины нормы  | Средние величины, которые достигнуты в действительности   |
|---|---|---|
| Объёмная масса согласно норме ČSN EN 323  | мин. 1 000 кг/м <sup>3</sup>  | 1 350 кг/м <sup>3</sup>   |
| Прочность на растяжение при изгибе согласно норме ČSN EN 310  | мин. 9,0 Н/мм <sup>2</sup>  | мин. 11,5 Н/мм <sup>2</sup>   |
| Модуль упругости согласно норме ČSN EN 310  | мин. 4 500 Н/мм <sup>2</sup>  | мин. 6 800 Н/мм <sup>2</sup>  |
| Прочность на растяжение перпендикулярно к поверхности панели согласно норме ČSN EN 319                      | мин. 0,5 Н/мм <sup>2</sup>  | мин. 0,63 Н/мм <sup>2</sup>   |
| Массовая равновесная влажность при 20° и относительной влажности 50% согласно норме EN 634-1                | 9 ± 3 %   | 9,5 %   |
| Линейное растяжение при изменении влажности воздуха с 30% до 85 % при 20°                                   |   | макс. 0,2 %   |
| Коэффициент теплового растяжения (по методике VUPS)   |   | 0,011 мм/м °C   |
| Водопоглощение панелей при нахождении в воде в течение 24 часов   |   | макс. 16 %  |
| Разбухание по толщине при нахождении в воде в течение 24 часов  | макс. 1,5 %   | макс. 0,28 %  |
| Коэффициент теплопроводности согласно норме ČSN EN 12 664   |   | тол. 8 мм – 0,200 Вт/мK<br>тол. 22 мм – 0,251 Вт/мK<br>тол. 40 мм – 0,287 Вт/мK   |
| Воздушная звуконепроницаемость согласно норме ČSN EN 73 0513  |   | тол. 8 мм – 30 дБ<br>тол. 24 мм – 33 дБ<br>тол. 40 мм – 35 дБ   |
| Фактор диффузного сопротивления согласно норме ČSN EN ISO12 572   |   | тол. 8 мм – 52,8<br>тол. 40 мм – 69,2   |
| Массовая активность Ra  | 150 Бк/кг   | 22 Бк/кг  |
| Индекс массовой активности  | I = 0,5   | I = 0,21  |
| Раслаиваемость после циклического нахождения во влажной среде согласно норме ČSN EN 321                     | мин. 0,3 Н/мм <sup>2</sup>  | мин. 0,41 Н/мм <sup>2</sup>   |
| Разбухание по толщине после циклического нахождения во влажной среде сог. норме ČSN EN 321                  | макс. 1,5 %   | макс. 0,31 %  |
| Морозостойкость при 100 циклах согласно норме ČSN EN 1328   | R <sub>L</sub> > 0,7  | R <sub>L</sub> = 0,97   |
| Устойчивость поверхности против воздействия воды и химических размораживающих веществ ČSN 73 1326           | Лом по 100 циклах<br>макс. 800 г/м <sup>2</sup> (метод А)<br>Лом по 75 циклах<br>макс. 800 г/м <sup>2</sup> (метод С) | Лом по 100 циклах<br>макс. 20,4 г/м <sup>2</sup> (метод А)<br>Лом по 75 циклах<br>макс. 47,8 г/м <sup>2</sup> (метод С) |
| Сопротивляемость против дугового пробоя высокого напряжения и низкой интенсивности согласно норме EN 61 621 |   | тол. 10 мм – мин. 143 сек   |
| pH панели   |   | 12,5  |

| Таблица основных пожарных свойств  | Достигнутые величины |
|--|----------------------|
| Степень горючести согласно норме ČSN 73 0862                             | A – негорючая        |
| Реакция на огонь согласно норме EN 13 501-1:2007                         | A2 s1,d0             |
| Индекс распространения пламени по поверхности согласно норме ČSN 73 0863 | I = 0 мм/мин         |

### 3.2 Линейное растяжение

Одним из особенностей изделий, которые содержат в себе деревянную массу, является их линейное растяжение и усадка при изменениях влажности воздуха. Это касается и панелей CETRIS®, поэтому при их использовании необходимо учитывать эти особенности и дать возможность панелям CETRIS® расширяться и сокращаться. У облицовок вертикальных конструкций шов расширения панелей 1250 мм должен быть шириной 4–5 мм, для панелей 3350 мм – шириной 12 мм. У несущих горизонтальных конструкций (например: полы) панели CETRIS® укладываются «встык» друг к другу, а швы для расширения-скатия создаются около стен в ширине минимум 15 мм. Размерные изменения не влияют ни на качество, ни на срок службы панелей CETRIS®.



### 3.3 Таблицы нагрузок

Статистический расчет несущей способности панелей CETRIS® был осуществлен для укладывания панелей на несущих направляющих (панели работают как балка). Взаимная работа отдельных панелей CETRIS® у балок на двух и больше полях обеспечивается склеиванием на гребень и шлиц, у меньшей толщине панелей – при помощи склеивания граней.

Расчет был осуществлен при предположении гибкого поведения материала и при соблюдении следующих механических и физических особенностей:

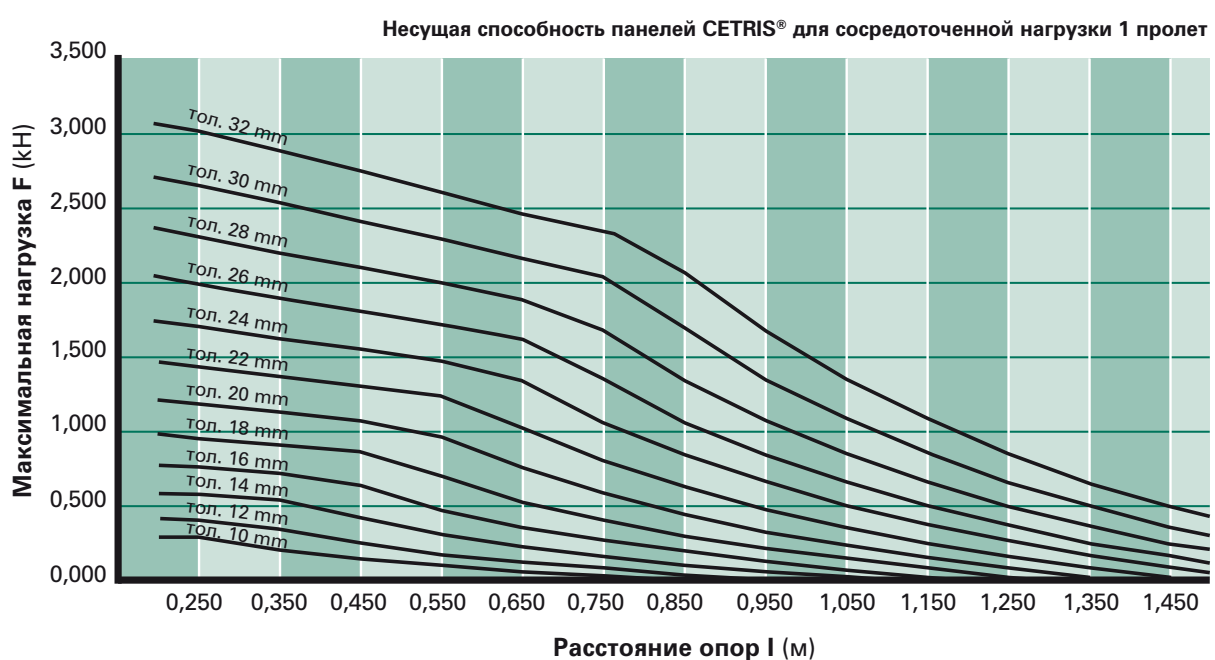
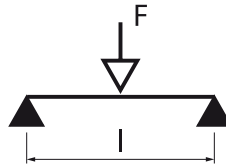
- прочность в растяжении при изгибе мин. 9 N/mm<sup>2</sup>
- модуль гибкости мин. 4500 N/mm<sup>2</sup>
- объемный вес 1400 кг/m<sup>3</sup>

При определении несущей способности было учтено воздействие массы самой панели. Максимальные нормальные напряжения в крайних волокнах при нагрузке не превысят 3,60 N/mm<sup>2</sup> (в данном случае имеется запас прочности, равный 2,5). Максимальный гибкий прогиб от эксплуатационной нагрузки, включая собственную массу, не превысит 1/300 диапазона. Расчетом было подтверждено, что для несущей способности панелей CETRIS® главным является сосредоточенная нагрузка. В указанных ниже таблицах и графиках рассматривается нагрузка на площадь 50 x 50 мм посередине панели шириной мин. 1 м (согласно EN). Далее, статический расчет предполагает, что нагрузка действует непосредственно на поверхность панели. Указанные основания нельзя использовать для решения задач напольных конструкций. Образцовое решение полов из панелей CETRIS® и таблицы нагрузок этих полов указаны в разделе № 7 «Напольные системы CETRIS®».

**Таблица нагрузок CETRIS® – сосредоточенная нагрузка – однопролетная балка**

(действует, например, для определения толщины панели – потолка, имеющего отдельную нагрузку).

| Диапазон балки I (мм) | Максимальная нагрузка F (кН) |            |            |            |            |            |            |            |
|-----------------------|------------------------------|------------|------------|------------|------------|------------|------------|------------|
|                       | тол. 10 мм                   | тол. 12 мм | тол. 14 мм | тол. 16 мм | тол. 18 мм | тол. 20 мм | тол. 22 мм | тол. 24 мм |
| 200                   | 0,298                        | 0,431      | 0,587      | 0,767      | 0,972      | 1,201      | 1,454      | 1,731      |
| 250                   | 0,291                        | 0,420      | 0,573      | 0,750      | 0,951      | 1,175      | 1,423      | 1,694      |
| 300                   | 0,250                        | 0,410      | 0,559      | 0,732      | 0,929      | 1,148      | 1,391      | 1,657      |
| 350                   | 0,205                        | 0,361      | 0,545      | 0,714      | 0,906      | 1,121      | 1,359      | 1,619      |
| 400                   | 0,170                        | 0,302      | 0,489      | 0,695      | 0,883      | 1,093      | 1,326      | 1,581      |
| 450                   | 0,141                        | 0,255      | 0,417      | 0,632      | 0,860      | 1,065      | 1,292      | 1,541      |
| 500                   | 0,117                        | 0,216      | 0,357      | 0,546      | 0,789      | 1,036      | 1,258      | 1,501      |
| 550                   | 0,097                        | 0,183      | 0,307      | 0,473      | 0,688      | 0,958      | 1,223      | 1,461      |
| 600                   | 0,078                        | 0,154      | 0,263      | 0,410      | 0,601      | 0,842      | 1,137      | 1,420      |
| 650                   | 0,062                        | 0,128      | 0,225      | 0,356      | 0,526      | 0,741      | 1,006      | 1,325      |
| 700                   | 0,047                        | 0,105      | 0,191      | 0,308      | 0,461      | 0,654      | 0,892      | 1,179      |
| 750                   | 0,033                        | 0,084      | 0,160      | 0,265      | 0,402      | 0,576      | 0,790      | 1,050      |
| 800                   | 0,020                        | 0,065      | 0,132      | 0,226      | 0,349      | 0,506      | 0,700      | 0,935      |
| 850                   | 0,007                        | 0,047      | 0,106      | 0,190      | 0,301      | 0,443      | 0,619      | 0,832      |
| 900                   |                              | 0,030      | 0,082      | 0,157      | 0,257      | 0,385      | 0,545      | 0,739      |
| 950                   |                              | 0,014      | 0,060      | 0,127      | 0,217      | 0,333      | 0,478      | 0,654      |
| 1000                  |                              |            | 0,039      | 0,98       | 0,179      | 0,284      | 0,416      | 0,577      |
| 1050                  |                              |            |            | 0,020      | 0,072      | 0,144      | 0,239      | 0,358      |
| 1100                  |                              |            |            |            | 0,001      | 0,047      | 0,112      | 0,197      |
| 1150                  |                              |            |            |            |            | 0,024      | 0,082      | 0,158      |
| 1200                  |                              |            |            |            |            | 0,003      | 0,053      | 0,122      |



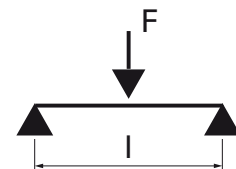
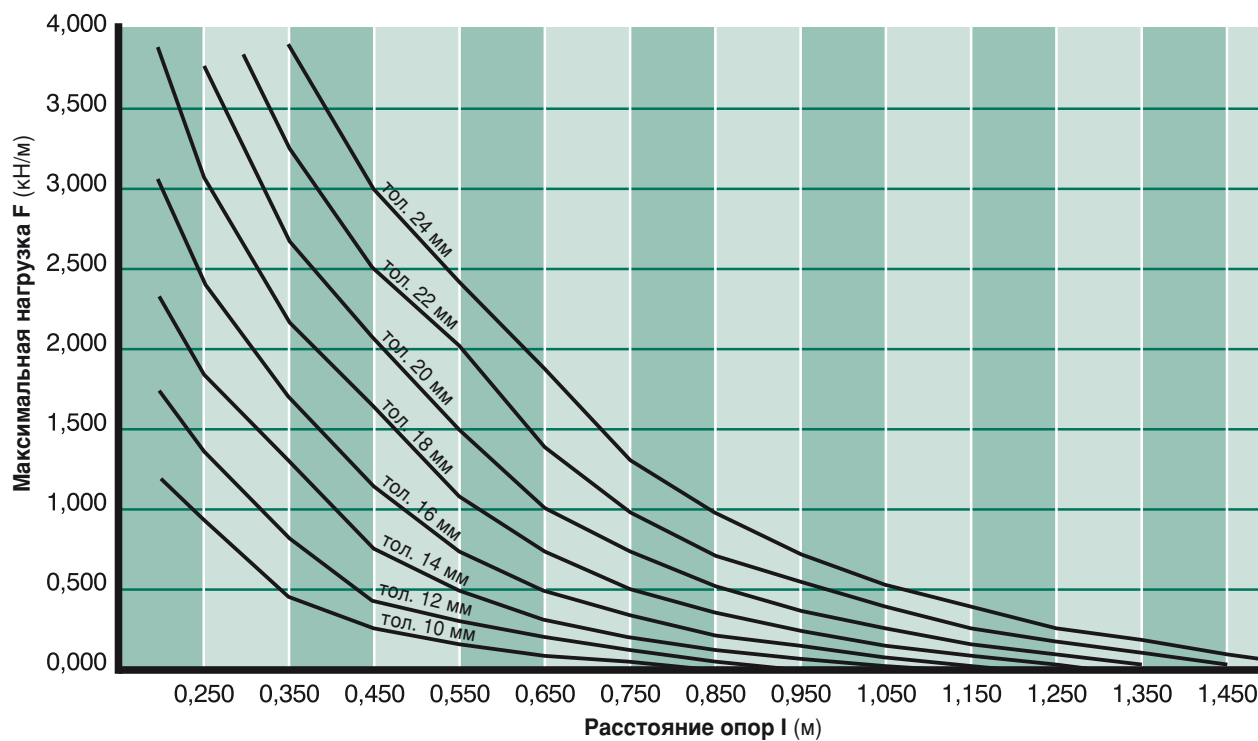
## Основные свойства

Таблица нагрузок CETRIS® – линейная нагрузка – однопролетная балка

(действует, например, для определения толщины панели, нагруженной линейной нагрузкой)

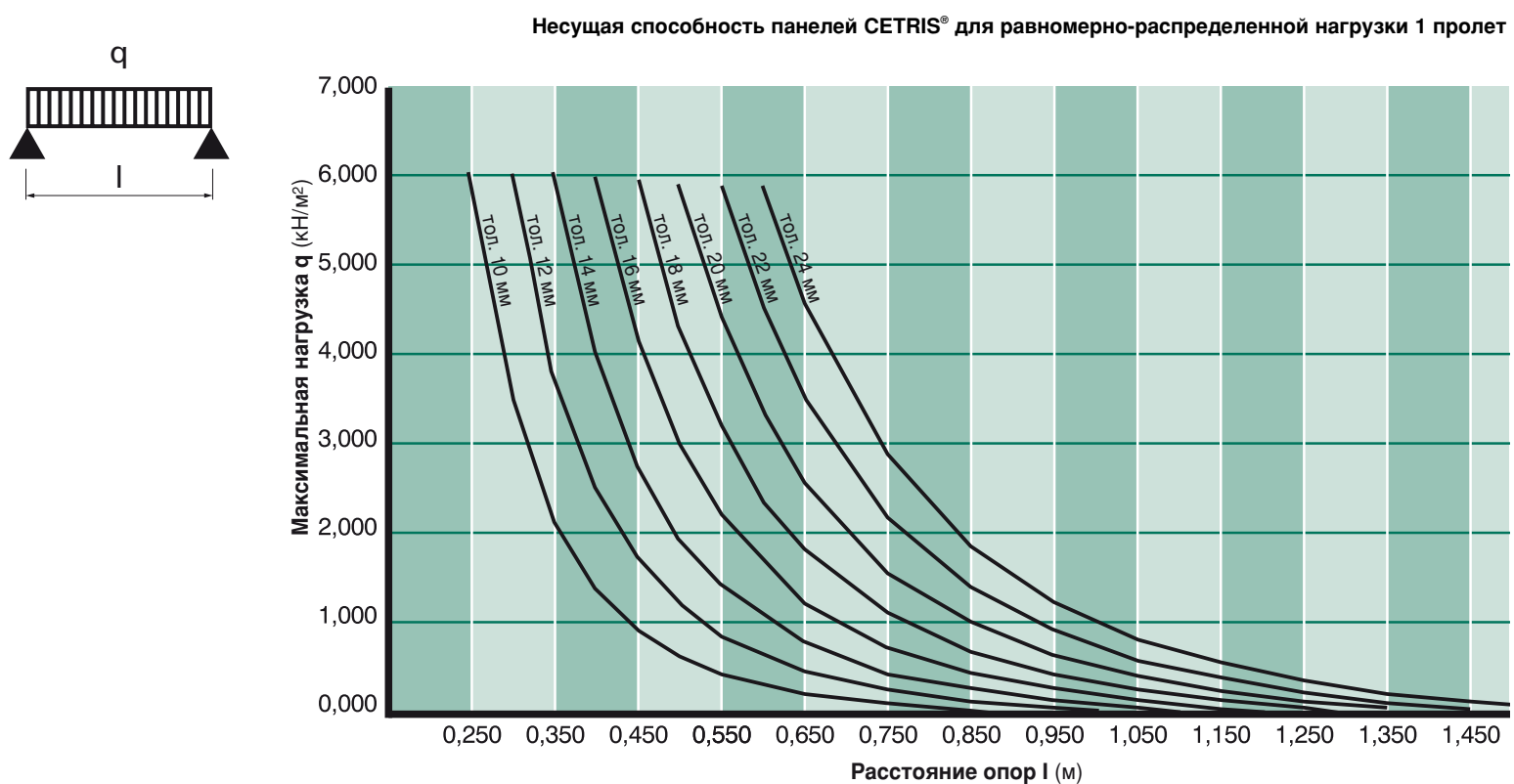
| Диапазон балки I<br>(мм) | Максимальная нагрузка F (кН) |            |            |            |            |            |            |            |
|--------------------------|------------------------------|------------|------------|------------|------------|------------|------------|------------|
|                          | тол. 10 мм                   | тол. 12 мм | тол. 14 мм | тол. 16 мм | тол. 18 мм | тол. 20 мм | тол. 22 мм | тол. 24 мм |
| 200                      | 1,186                        | 1,711      | 2,332      | 3,050      | 3,863      | 4,772      | 5,777      | 6,878      |
| 250                      | 0,938                        | 1,361      | 1,857      | 2,430      | 3,079      | 3,805      | 4,608      | 5,488      |
| 300                      | 0,640                        | 1,121      | 1,539      | 2,014      | 2,554      | 3,158      | 3,826      | 4,558      |
| 350                      | 0,459                        | 0,810      | 1,301      | 1,716      | 2,178      | 2,694      | 3,265      | 3,891      |
| 400                      | 0,340                        | 0,606      | 0,980      | 1,480      | 1,894      | 2,344      | 2,842      | 3,389      |
| 450                      | 0,257                        | 0,456      | 0,758      | 1,151      | 1,657      | 2,070      | 2,512      | 2,996      |
| 500                      | 0,196                        | 0,362      | 0,597      | 0,913      | 1,321      | 1,833      | 2,246      | 2,681      |
| 550                      | 0,150                        | 0,285      | 0,477      | 0,735      | 1,070      | 1,491      | 2,006      | 2,421      |
| 600                      | 0,114                        | 0,225      | 0,384      | 0,599      | 0,878      | 1,228      | 1,659      | 2,178      |
| 650                      | 0,085                        | 0,177      | 0,310      | 0,491      | 0,726      | 1,022      | 1,387      | 1,827      |
| 700                      | 0,061                        | 0,138      | 0,250      | 0,404      | 0,604      | 0,857      | 1,169      | 1,546      |
| 750                      | 0,041                        | 0,106      | 0,201      | 0,332      | 0,504      | 0,722      | 0,991      | 1,317      |
| 800                      | 0,024                        | 0,078      | 0,159      | 0,272      | 0,421      | 0,610      | 0,844      | 1,128      |
| 850                      | 0,009                        | 0,054      | 0,124      | 0,221      | 0,350      | 0,516      | 0,721      | 0,970      |
| 900                      |                              | 0,034      | 0,093      | 0,177      | 0,290      | 0,435      | 0,615      | 0,835      |
| 950                      |                              | 0,015      | 0,066      | 0,139      | 0,238      | 0,366      | 0,525      | 0,720      |
| 1000                     |                              |            | 0,042      | 0,106      | 0,192      | 0,305      | 0,4446     | 0,619      |
| 1050                     |                              |            | 0,021      | 0,076      | 0,152      | 0,255      | 0,377      | 0,532      |
| 1100                     |                              |            | 0,001      | 0,049      | 0,116      | 0,204      | 0,316      | 0,454      |
| 1150                     |                              |            |            | 0,025      | 0,083      | 0,162      | 0,262      | 0,386      |
| 1200                     |                              |            |            | 0,003      | 0,054      | 0,123      | 0,213      | 0,324      |

Несущая способность панелей CETRIS® для линейной нагрузки 1 пролет



**Таблица нагрузок CETRIS® – равномерно-распределенная нагрузка – однопролетная балка**  
(действует, например, для определения толщины панели, использованной в качестве «вечной» опалубки)

| Диапазон балки I<br>(мм) | Максимальная нагрузка F (кН) |            |            |            |            |            |            |            |
|--------------------------|------------------------------|------------|------------|------------|------------|------------|------------|------------|
|                          | тол. 10 мм                   | тол. 12 мм | тол. 14 мм | тол. 16 мм | тол. 18 мм | тол. 20 мм | тол. 22 мм | тол. 24 мм |
| 200                      | 11,860                       | 17,112     | 32,324     | 30,496     | 38,628     | 47,720     | 57,772     | 68,784     |
| 250                      | 6,004                        | 10,449     | 14,857     | 19,437     | 24,631     | 30,440     | 36,863     | 43,901     |
| 300                      | 3,416                        | 5,976      | 9,560      | 13,429     | 17,028     | 21,053     | 25,505     | 30,384     |
| 350                      | 2,099                        | 3,701      | 5,948      | 8,947      | 12,444     | 15,393     | 18,657     | 22,234     |
| 400                      | 1,360                        | 2,424      | 3,920      | 5,920      | 8,496      | 11,720     | 14,212     | 16,944     |
| 450                      | 0,913                        | 1,653      | 2,695      | 4,091      | 5,892      | 8,148      | 10,910     | 13,317     |
| 500                      | 0,628                        | 1,159      | 1,911      | 2,922      | 4,227      | 5,864      | 7,870      | 10,281     |
| 550                      | 0,437                        | 0,829      | 1,387      | 2,139      | 3,113      | 4,336      | 5,836      | 7,641      |
| 600                      | 0,304                        | 0,600      | 1,024      | 1,596      | 2,340      | 3,276      | 4,424      | 5,808      |
| 650                      | 0,210                        | 0,436      | 0,763      | 1,208      | 1,787      | 2,517      | 3,414      | 4,496      |
| 700                      | 0,140                        | 0,316      | 0,572      | 0,922      | 1,380      | 1,959      | 2,672      | 3,533      |
| 750                      | 0,088                        | 0,225      | 0,428      | 0,708      | 1,075      | 1,540      | 2,115      | 2,810      |
| 800                      | 0,048                        | 0,156      | 0,319      | 0,544      | 0,842      | 1,220      | 1,689      | 2,256      |
| 850                      | 0,016                        | 0,102      | 0,233      | 0,416      | 0,660      | 0,971      | 1,356      | 1,825      |
| 900                      |                              | 0,060      | 0,165      | 0,315      | 0,516      | 0,773      | 1,094      | 1,484      |
| 950                      |                              | 0,025      | 0,111      | 0,235      | 0,401      | 0,616      | 0,884      | 1,212      |
| 1000                     |                              |            | 0,067      | 0,169      | 0,308      | 0,488      | 0,714      | 0,991      |
| 1050                     |                              |            | 0,032      | 0,116      | 0,232      | 0,383      | 0,575      | 0,810      |
| 1100                     |                              |            | 0,002      | 0,071      | 0,169      | 0,297      | 0,460      | 0,661      |
| 1150                     |                              |            |            | 0,035      | 0,116      | 0,225      | 0,364      | 0,537      |
| 1200                     |                              |            |            | 0,004      | 0,072      | 0,164      | 0,284      | 0,432      |



## 3.4 Теплотехнические особенности

Тепловая проводимость или коэффициент тепловой проводимости является главным показателем строительных материалов с точки зрения теплотехники. Цементно-стружечные панели CETRIS®, благодаря своему совершенному соединению дерева и цемента без наличия воздушных пор, являются весьма хорошим проводником тепла. Поэтому панели находят свое применение везде, где требуется

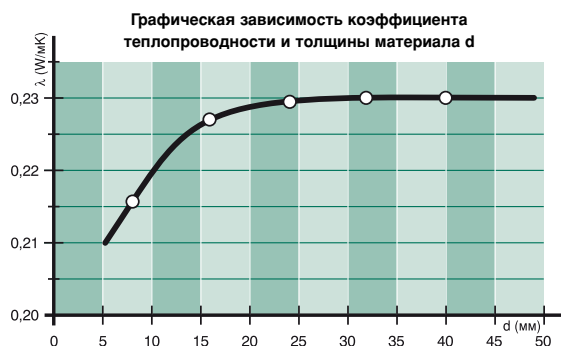
прочность материала с минимальным тепловым сопротивлением, которое вызывало бы потери тепла, например: в системах напольного отопления.

При испытании тепловой проводимости панелей CETRIS® на образцах с толщиной 20 мм была получена величина 0,18 W/mK.

Эта указанная величина тепловой проводимости была измерена в сухом состоянии при средней температуре 10 °C, однако влиянием влажности на тепловую проводимость нельзя пренебречь. С увеличивающейся влажностью увеличивается и тепловая проводимость материала, поэтому верно будет давать величину тепловой проводимости при постоянной влажности панелей CETRIS®.

$\lambda = \text{макс. } 0,277 \text{ W/mK}$   
(при массовой влажности  $9 \pm 3\%$ )

При более высокой влажности тепловая проводимость пропорционально возрастает, однако она не должна превысить величину 0,35 W/mK.



**Тепловая проводимость панелей CETRIS® в зависимости от толщины:**

| Толщина панели CETRIS® (мм) | Тепло-проводность $\lambda$ (Вт/мК) | Термическое сопротивление ( $\text{м}^2\text{К}/\text{Вт}$ ) |
|-----------------------------|-------------------------------------|--|
| 8                           | 0,216                               | 0,037  |
| 16                          | 0,227                               | 0,070  |
| 24                          | 0,229                               | 0,104  |
| 32                          | 0,230                               | 0,138  |
| 40                          | 0,230                               | 0,173  |

Вышеуказанные величины тепловой проводимости измерены в сухом состоянии, однако влиянием влажности на тепловую проводимость нельзя пренебречь. С увеличивающейся влажностью увеличивается и тепловая проводимость материала, поэтому верно будет давать величину тепловой проводимости при постоянной влажности панелей CETRIS®.

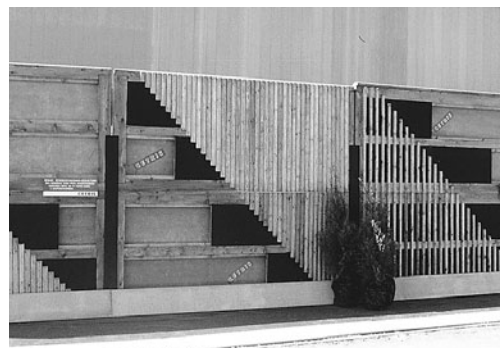
## 3.5 Звукоизоляционные особенности



Согласно оценки испытаний акустических особенностей Исследовательского института наземного строительства г. Прага панели CETRIS® имеют прекрасные акустические особенности и подходят для облицовки легких перегородок, стен и потолков, а также их можно использовать в качестве звукоизоляционных потолков. Цементно-стружечные панели CETRIS® обладают низким уровнем звукоглощения, т.е. они являются элементом звукового отражения. Для увеличения акустического поглощения панели CETRIS® необходимо использовать совместно с абсорбирующими материалами.

**Для использования панелей с точки зрения акустики были проверены следующие величины:**

|                                     |             |
|-------------------------------------|-------------|
| коэффициент потерь                  | 0,013       |
| скорость расширения продольных волн | 2 128 м/сек |
| константа материала                 | 22,7        |
| индекс $Rw$ тол. 8, 10 мм           | 30 dB       |
| тол. 12, 14 мм                      | 31 dB       |
| тол. 16, 20 мм                      | 32 dB       |
| тол. 24 мм                          | 33 dB       |
| тол. 32 мм                          | 34 dB       |
| тол. 40 мм                          | 35 dB       |



## 3.6 Паропроницаемость

Диффузия – это способность проникновения молекул газа, пара, или жидкости между молекулы пористого материала. В случае, если пористый материал отделяет две среды, между которыми есть разница парциального давления водяного пара, возникает диффузия водяного пара. Диффузия проходит в среде, в которой парциальное давление водяного пара выше и возникает в макрокапиллярах, диаметр которых  $d > 10^{-7}$  м, потому что в таких капиллярах не возникает капиллярная конденсация.

Диффузия (фактор диффузного сопротивления) испытывается в соответствии с ČSN EN ISO 12 572 Тепло-влажностная реакция строительных материалов и продуктов – Установление прохода пара. Диффузия тестируется на точно обозначенном образце, который тесно закрывает простор испытательной миски с осушителем (Силикагель) или насыщенный раствор (мокрая миска). Комплект помещается в испытательную камеру с управляемой температурой и влажностью воздуха. По причине различного парциального давления водяного пара между простором испытательной миски и камерой начнут водяные пары проходить через проницаемые образцы. Регулярным взвешиванием комплекта устанавливается проход водяного пара в стабильном положении.

Способность строительных материалов пропускать водяные пары диффузией можно выразить:

- коэффициентом диффузной проводимости (диффузия водяных паров)  $\delta$
- фактором диффузного сопротивления  $\mu$
- эквивалентом диффузной толщины  $s_d$

Между этими величинами существуют точно определённые отношения.

**Коэффициентом диффузной проводимости (диффузия водяных паров)  $\delta$  (s)** – является произведение проницаемости водяного пара и толщины гомогенного образца. Коэффициент был установлен у цементо-стружечных панелей CETRIS® в 1991 году (в соответствии с ČSN 72 7031, тестированная толщина 12 мм) величиной  $0,00239 \times 10^{-9}$  с или  $8,604 \times 10^{-6}$  г/mhPa.

**Более используется величина фактора диффузного сопротивления  $\mu$**  (без размеров), это частное коэффициента проницаемости водяного пара и строительного материала. Фактор выражает во сколько раз диффузное сопротивление строительного материала больше по сравнению со слоем воздуха одинаковой толщины и температуры, также, чем выше величина сопро-

тивления тем менее проницаемый материал (минеральная вата достигает величин 1 – 2, полистирол и бетон величин 120 – 150, гидроизоляция величины в тысячах). Фактор диффузного сопротивления был установлен испытаниями в соответствии с ČSN EN ISO 12 572 у панелей CETRIS® со следующими результатами:

- Для тол. 8 мм (самая тонкая)  $\mu = 52,8$
- Для тол. 40 мм (самая толстая)  $\mu = 69,2$

**Эквивалентная диффузная толщина  $s_d$  (м)** – толщина эквивалентной воздушной щели – это толщина слоя спокойного воздуха с тем же диффузным сопротивлением как у испытательного образца.

Для цементо-стружечной панели CETRIS® эквивалентная диффузная толщина в общем  $s_d = \mu \times d$ , где  $d$  – это толщина материала:

- для тол. 8 мм (самой тонкой)  
 $s_d = 52,8 \times 0,008 = 0,43$  м
- для тол. 40 мм (самая толстая)  
 $s_d = 69,2 \times 0,040 = 2,78$  м
- для другой толщины (в общем)  $s_d = \mu \times d$

$d$  ..... толщина панели CETRIS® в м

$\mu$  ..... интерполированная величина с таблицы (для тол. 10 – 38 мм)

|           | Толщина панелей CETRIS® (мм) |      |      |      |      |      |      |      |      |      |      |      |      |      |      |      |      |
|-----------|------------------------------|------|------|------|------|------|------|------|------|------|------|------|------|------|------|------|------|
|           | 8                            | 10   | 12   | 14   | 16   | 18   | 20   | 22   | 24   | 26   | 28   | 30   | 32   | 34   | 36   | 38   | 40   |
| $\mu$     | 52,8                         | 53,7 | 54,6 | 55,5 | 56,4 | 57,3 | 58,2 | 59,1 | 60,0 | 60,9 | 61,8 | 62,7 | 63,6 | 65,0 | 66,4 | 67,8 | 69,2 |
| $s_d$ (м) | 0,43                         | 0,54 | 0,66 | 0,78 | 0,90 | 1,03 | 1,16 | 1,30 | 1,44 | 1,58 | 1,73 | 1,88 | 2,04 | 2,21 | 2,39 | 2,58 | 2,78 |

## 3.7 Противопожарные особенности

До 2000 года требования, предъявляемые к противопожарной защите зданий, были определены в национальных нормах. В Чешской Республике это были нормы ČSN серии 73 08... В этих нормах были определены основные правила для проектирования строительных объектов, конструкций и конкретные требования, предъявляемые к отдельным противопожарным техническим особенностям строительных материалов и конструкций, используемых при строительстве. Согласно этим методикам отдельно оцениваются строительные материалы и целые строительные конструкции. На основании этих норм были установлены следующие особенности:

- определение класса горючести строительного материала согласно ČSN 73 08 62 (испытания провел Пожарный аттестационный и исследовательский институт г. Прага, протокол об испытании № Н – 10/Ve – 1991) относит панели CETRIS® к классу горючести А – НЕГОРЮЧИЕ. В процессе испытаний не было отме-

чено горение, падение или углефиксации материала. Действительность итогов испытаний, проведенных согласно этой методике, до конца 2007 г.

- определение расширения пламени по поверхности строительных материалов согласно ČSN 73 0863. При испытании фасадных штукатурок и фасадных окрасок, примененных на панелях CETRIS® и CETRIS® FINISH (испытания провел Пожарный аттестационный и исследовательский институт г. Прага, протоколы об испытании № Z-7.03-94, Z-7.04-94, № 10474), не произошло возгорание поверхности, т.е. индекс распространения пламени по поверхности строительного материала составил 0 мм /мин., а скорость распространения пламени по поверхности строительного материала также составил 0 мм/мин. Действительность итогов испытаний, проведенных согласно этой методике, до конца 2007 г.

Класс горючести был проверен и согласно DIN 4102 (проверку осуществил Forschungs und Materialprü-

fungsanstalt Stuttgart – Otto Graf Institut, протоколы № 16-24636 a, 16-24236 b, 16-991 211 000/02a), панелям CETRIS® был присвоен класс B1.

В настоящее время проходят испытания противопожарных особенностей панелей CETRIS® согласно европейским нормам:

- классификация строительных изделий по их реакции на огонь (согласно EN 13 501-1)
- определение пожарного сопротивления строительных конструкций (согласно EN 1361 – 1365, EN 13 381)

После окончания испытаний будет издан новый каталог, о текущих итогах новых испытаний вы будете информированы на [www.cetris.cz](http://www.cetris.cz).

В связи с выгодными противопожарными особенностями панели CETRIS® находят частое применение в противопожарной защите объектов строителя, сопротивление пожару конкретных конструкций согласно норме ČSN указывается в разделе № 9 – Применение панелей CETRIS® в пожарной охране.

## 3.8 Сопротивляемость панели против дугового пробоя высокого напряжения и низкой интенсивности

ELEKTROTECHNICKÝ ZKUŠEBNÍ ÚSTAV  
Pod Lísem 129  
171 02 Praha 71

Počet stran: 2  
Počet příloh/Počet stran příloh: -/-  
Zn.: Lk/Ba

Číslo protokolu: 301508-01/01

Datum vydání: 12. 5. 2003



### PROTOKOL O ZKOUŠCE

**Výrobek:** Cementotřísková deska  
**Typ:** CETRIS  
**Jmenovité hodnoty:** tloušťka 10mm  
**Výrobní číslo:** -  
**Výrobce:** CIDEM Hranice, a.s., divize CETRIS, Skalní 1088, 753 40 Hranice I - Město, Česko  
**Výrobní místo:** CIDEM Hranice, a.s., divize CETRIS Skalní 1088, 753 40 Hranice I - Město, Česko  
**Číselník výrobků EZÚ:** 105001 - ostatní služby  
**Objednavatel:** CIDEM Hranice, a.s., divize CETRIS, Skalní 1088, 753 40 Hranice I - Město, Česko  
**Počet zkoušených vzorků:** 10  
**Vzorky předloženy dne:** 7.4.2003  
**Místo provedení zkoušek:** Elektrotechnický zkušební ústav, s.p.  
**Zkoušky prováděny v době od** 28. 4. 2003 **do** 2. 5. 2003  
**Jiné údaje:**  
**Výrobek zkoušen podle:** ČSN EN 61 621:98

*Baron* *Ochvátil*  
 Elektrotechnický zkušební ústav, a.s.  
 Pod Lísem 129  
 171 02 Praha  
 -17- *Ludvík*  
 Zpracoval: M. Baron *technický vedoucí*  
 171 02 Praha 71  
 Ing. V. Ludvík  
 zkušební laboratoře 344

Výsledky zkoušek uvedené v protokolu se týkají pouze zkoušeného předmětu a jsou změřeny s přesností požadovanou zkušebním předpisem. Bez písemného souhlasu EZÚ nesmí být tento protokol reproducován jinak než celý. Pokud se zákazník uvedený v tomto protokolu odkazuje na služby EZÚ jako akreditované laboratoře, musí používat formulaci typu „Zkoušeno EZÚ, laboratoř akreditovanou ČIA k uvedeným zkouškám, registrační číslo akreditované laboratoře 1056“.

Tel.: 266104111

Fax: 284680070

E-mail: [testing@ezu.cz](mailto:testing@ezu.cz)  
<http://www.ezu.cz>

### Новое применение цементо-стружечной панели CETRIS®

Цементо-стружечная панель CETRIS® – универсальный материал для применения в интерьерах и экстерьерах. По сравнению с другими плиточными материалами имеет высокую устойчивость против атмосферного влияния, огня, механического повреждения и используется в требовательных технологических помещениях.

На основании спроса со стороны поставщиков электростанций была цементо-стружечная панель CETRIS® испытана и на сопротивляемость против дуговому пробою высокого напряжения и низкой интенсивности согласно норме ČSN EN 61 621:1998 (IEC 61621:1997).

Это тестирование было в мае в лаборатории в Праге-Трое на испытательном устройстве MICAFIL ART 68 со следующим результатом для панели CETRIS®, толщиной 10 мм:

- Минимальное время создания проводящего пути 143 сек.
- Среднее время до создания проводимого пути 180,25 сек.

Цементо-стружечная панель CETRIS® отвечает своей сопротивляемостью против дуговому пробою в помещениях с высоковольтной линией (коллекторы).

**Обоснование:** Средняя и минимальная величины измеренного времени до создания проводимого пути меньше, чем отключающее время защиты дистрибуционной линии высокого и низкого напряжений.

◀ Протокол о испытании